

УДК 552.111+552.332.4(471.21)

ПЕТРОГРАФИЯ

Б. А. МАЛЬКОВ

**О ДИФФЕРЕНЦИАЦИИ В ДАЙКАХ МОНЧИКИТОВ**

(*Представлено академиком Д. С. Коржинским 30 VI 1969*)

Изменчивость минерального и химического составов лампрофиров выявлена давно, но закономерности ее почти не изучены. Полагают, что причинами изменчивости могут быть процессы гибридизма (<sup>1, 2</sup>), явления гетероморфизма (<sup>3, 4</sup>), несмесимости (<sup>5</sup>), дифференциация в выводном канале (<sup>6, 7</sup>). Неоднократно подчеркивался неравновесный состав лампрофиров (<sup>6, 8</sup>).

Ключом к познанию закономерностей дифференциации лампрофиров может служить детальное изучение и математическое строгое описание сопряженных вариаций их минерального и химического состава с учетом условий залегания конкретных магматических тел. В качестве объекта исследования были выбраны дайки палеозойских мончикитов с Турьего мыса на Кольском полуострове, петрографическое описание которых было сделано еще Д. С. Беляниным (<sup>9</sup>) и позднее другими авторами (<sup>10</sup>).

На южной оконечности Турьего мыса в береговых обнажениях фенитизированные песчаники и гранодиориты рассечены большим количеством даек мончикитов с различной мощностью (от 0,1 до 2 м) и различными углами падения (от 0 до 90°).

Вертикальные дайки имеют симметрично-зональное строение. Эндоконтактовые зоны отличаются преобладанием афантитового мезостазиса и небольшими размерами вкраепленников темноцветных минералов. Переход к центру даек постепенный с увеличением размера вкраепленников и общего объема, приходящегося на их долю. Эндоконтактовые зоны обладают плоско-параллельными текстурами. В центре такие текстуры отсутствуют.

Вкраепленники в мончикитах принадлежат оливину (14–15%  $Fe_2SiO_4$ , 1,5%  $Ca_2SiO_4$ , 0,3%  $Mn_2SiO_4$ , 0,3%  $Ni_2SiO_4$ , 82,6%  $Mg_2SiO_4$ ) и титанавгиту (7,8%  $NaFeSi_2O_6$ , 74,2%  $CaMgSi_2O_6$ , 6,7%  $CaFeSi_2O_6$ , 11,3% компонентов Чермака и др.), химический состав которых (вес. %) приведен в табл. 1.

Зависимость содержания никеля в оливине от фаялитовой составляющей в мончикитах и кимберлитах (<sup>11</sup>) одинакова. Это позволяет полагать, что вкраепленники оливина в тех и других возникли при глубинной эволюции расплава (<sup>11</sup>). Высокое содержание хрома в пироксене из мончикитов сближает его с клинопироксенами из перидотитовых нодулей в щелочных базальтах (<sup>12</sup>) и кимберлитах и подчеркивает глубинное образование его вкраепленников. Основная масса породы сложена мелкими призмочками титанавгита, реже эгирина-авгита, биотитом и титаномагнетитом, заключенными в смесь анальцима, натролита и кальцита. Миндалины, заполненные анальцимом, натролитом и кальцитом, достигают в диаметре 3–4 мм в центре даек, уменьшаясь по направлению к зальбандам до ~0,1 мм.

В наклонных дайках наблюдается асимметричное распределение вкраепленников оливина и титанавгита, как, впрочем, и всех других минеральных компонентов породы. Если в вертикальных дайках максимальный суммарный объем вкраепленников оливина и титанавгита приходится на центральную их часть, то в наклонных эти зоны смешены к лежачему боку и тем сильнее, чем положе дайка. В вертикальных дайках эндоконтактовые зоны симметрично обогащены биотитом и эгирином-авгитом. В наклонных картина не вполне симметрична: максимум содержания эгирина-авгита смешен к висячему боку. Максимум содержания титаномагнетита, приурочен-

ный ко внутренней их части, отчетливо смещен в направлении висячего бока.

Характер изменчивости минерального состава в дайках мончикитов определяет симметричную картину химической изменчивости в случае вертикальных даек и, соответственно, асимметричную — в случае наклонных. Центральные части вертикальных даек отчетливо обогащены магнием и кальцием, а их эндоконтакты — алюминием, железом, титаном, щелочами и фосфором. В наклонных дайках магниевый и кальциевый максимумы смещены к лежачему боку. Туда же смещены минимумы содержаний алюминия, железа, титана, натрия, фосфора. В противоположность натрию минимум содержания калия в наклонных дайках мончикитов смещен в направлении их висячего бока (рис. 1).

Распределение содержаний всех компонентов и объемного содержания породообразующих минералов на диаграммах состав — мощность даек, составленных для вертикальных даек, симметрично и может быть описано уравнением второго порядка вида

$$y_i = a_i x^2 + b_i x + c_i, \quad (1)$$

где  $y_i$  — содержание компонента в весовых или объемных процентах,  $x$  — расстояние пробы от контакта. Коэффициенты  $a_i$ ,  $b_i$ ,  $c_i$  для каждого  $i$ -го компонента различны и вычислены на ЭВМ методом наименьших квадратов из данных химического анализа и полевого наблюдения.

Сравнение и анализ кривых второго порядка для каждого  $i$ -го компонента, соответствующих вертикальным дайкам различной мощности, показывает, что в первом приближении между коэффициентами  $a_i$ ,  $b_i$ ,  $c_i$  и мощностью даек  $r$  существует линейная зависимость, т. е. уравнение (1) для одного и того же  $i$ -го компонента для вертикальных даек различной мощности  $r$  можно представить в виде:

$$y_i = (a_i + a_i^{(1)} r) x^2 + (b_i + b_i^{(1)} r) x + (c_i + c_i^{(1)} r). \quad (2)$$

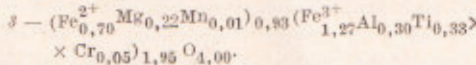
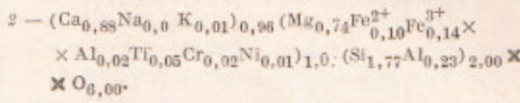
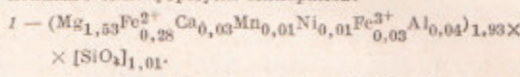
Исходя из уравнения (2), можно получить теоретически ожидаемое содержание компонента (или уравнение второго порядка вида (1)) для вертикальной дайки с мощностью, которая соответствует мощности наклонной дайки. Сравнение двух уравнений для вертикальной и наклонной даек одной и той же мощности позволяет получить линейную зависимость коэффициента кривых второго порядка от  $\cos \alpha$ , где  $\alpha$  — угол наклона дайки. Окончательное уравнение для содержания  $i$ -го компонента в дайке любой мощности и любого наклона имеет вид:

$$y_i = (a_i + a_i^{(1)} r) x^2 + (b_i + b_i^{(1)} r) x + (c_i + c_i^{(1)} r) + \\ + \cos \alpha [(a_i^{(2)} + a_i^{(3)} r) x^2 + (b_i^{(2)} + b_i^{(3)} r) x + (c_i^{(2)} + c_i^{(3)} r)], \quad (3)$$

Таблица 4

Компонент	1	2	3
SiO <sub>2</sub>	39,58	46,96	0,27
TiO <sub>2</sub>	Не обн.	1,80	12,74
Al <sub>2</sub> O <sub>3</sub>	1,36	5,23	7,50
Fe <sub>2</sub> O <sub>3</sub>	1,70	4,90	48,46
V <sub>2</sub> O <sub>5</sub>	Не опр.	Не опр.	0,18
Cr <sub>2</sub> O <sub>3</sub>	Следы	0,63	1,89
FeO	13,22	3,09	23,86
MnO	0,32	0,09	0,25
NiO	0,30	0,14	0,13
MgO	40,16	13,20	4,32
CaO	1,01	21,76	Следы
Na <sub>2</sub> O	0,25	0,93	0,10
K <sub>2</sub> O	0,17	0,21	0,12
CoO	Не опр.	Не опр.	0,035
ZnO	*	*	0,061
H <sub>2</sub> O общ	0,89	0,99	—
<b>Σ</b>	<b>98,96</b>	<b>99,93</b>	<b>99,91</b>

П р и м е ч а н и я. 1, 2, 3 — соответственно оливин, титанавгит и титаномагнетит из мончикитов Туровского мыса. Аналитик Н. А. Малькова. Кристаллохимические формулы минералов:



где коэффициенты  $a_i$ ,  $a_i^{(1)}$ ... $b_i$ ,  $b_i^{(1)}$ ... $c_i$ ,  $c_i^{(1)}$ ... для  $i$ -го компонента даются в табл. 2. На рис. 1 приведены экспериментальные значения  $y$  и вычисленные теоретически по уравнению (3) с коэффициентами, взятыми из табл. 2 для даек различной мощности и наклона.

Обогащенность эндоконтактовых зон алюминием, железом, титаном, щелочами и фосфором характерна не только для мончилитов, но и для массивов щелочно-ультраосновных пород (10). В последних, согласно (10), происходит ионная диффузия и миграция к периферической части интрузивов

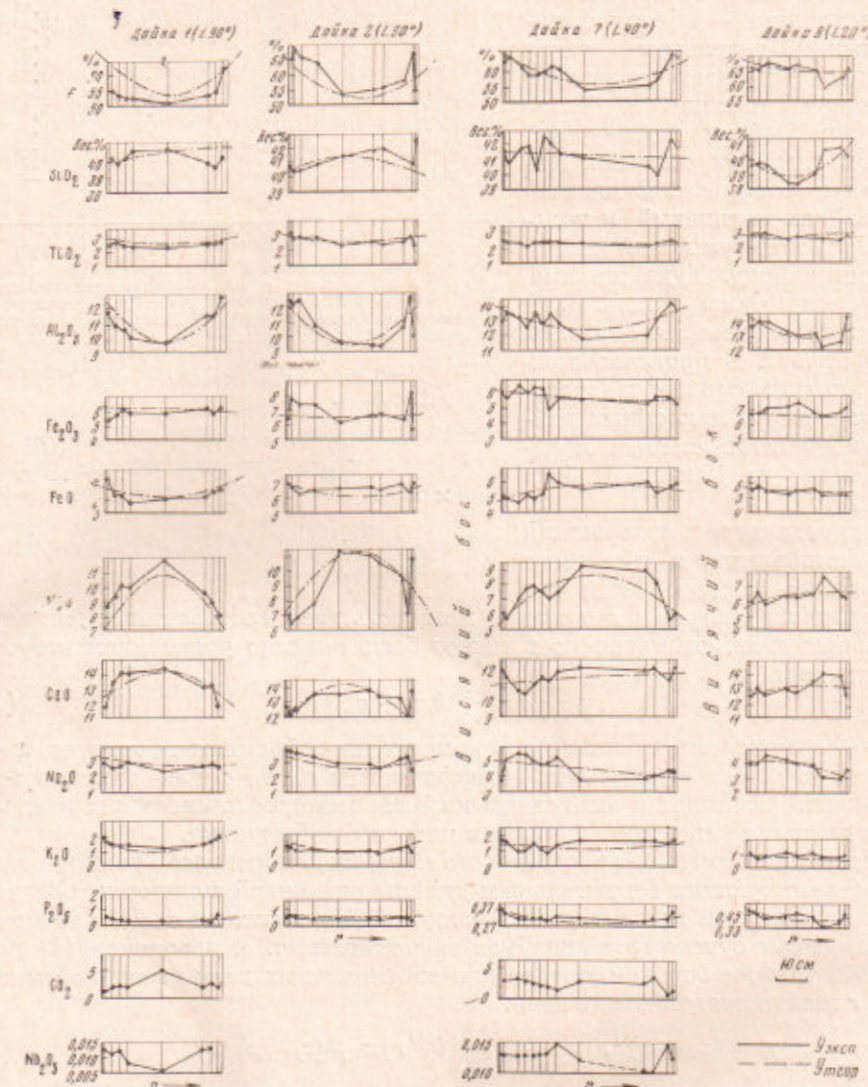


Рис. 1

щелочей, фосфатных и титано-фтористых комплексов, наиболее подвижных и долго удерживающихся в расплаве. Для мончилитов из даек может быть предложен иной хорошо согласующийся с их геологическими и петрографическими особенностями механизм гидродинамической дифференциации, при котором обогащенность магнием и кальцием центральных частей даек (вертикальных) объясняется аккумуляцией интрапеллурических вкраепленников оливина и титанавгита в струях потока, обладающих наи-

Таблица 2

Компонент	$a_i$ , %	$a_i^{(1)}$ , 10 <sup>-2</sup> %	$a_i^{(2)}$ , 10 <sup>-1</sup> %	$a_i^{(3)}$ , 10 <sup>-2</sup> %	$b_i$ , 10 <sup>-2</sup> %	$b_i^{(1)}$ , 10 <sup>-4</sup> %	$b_i^{(2)}$ , 10 <sup>-3</sup> %	$b_i^{(3)}$ , 10 <sup>-4</sup> %	$c_i$ , 10 <sup>-4</sup> %	$c_i^{(1)}$ , 10 <sup>-8</sup> %	$c_i^{(2)}$ , 10 <sup>-4</sup> %	$c_i^{(3)}$ , 10 <sup>-6</sup> %
SiO <sub>2</sub>	32,5	95	65	-78	-29	40	16	-33	68	-87	-45	76
TiO <sub>2</sub>	4,20	20	30	-39	0,91	1	-0,6	2,4	4,6	-3,3	2,1	-1,4
Al <sub>2</sub> O <sub>3</sub>	15,0	-31	6	-31	7,6	8	0,8	-19	32	-18	16	-6,5
Fe <sub>2</sub> O <sub>3</sub>	1,80	56	68	-84	13	-16	-11	14	-30	37	31	-40
FeO	5,95	11	-18	4,3	7,5	-4,4	0,4	5,6	25	-25	-25	24
MgO	4,44	32	24	-50	33	-18	39	-32	100	-100	120	-130
CaO	18,7	-79	-51	63	-27	45	45	-66	36	-59	-57	85
Na <sub>2</sub> O	4,20	-12	-20	39	16	-24	-160	240	-25	33	-21	34
K <sub>2</sub> O	4,18	-32	-46	50	12	-11	15	-14	31	-33	-38	42
P <sub>2</sub> O <sub>5</sub>	0,648	-2,8	-0,45	0,42	-0,7	1,9	-1,5	2,7	-0,44	1,6	-1,3	2,6
*	63,9	0,16	0,86	-0,73	1,1	-0,96	1,3	-1,1	3,4	-3,4	-4	4,3

\* / (%) — общая железистость  $(\text{Fe}_2\text{O}_3 + \text{FeO})/(\text{Fe}_2\text{O}_3 + \text{FeO} + \text{MgO})$ .

большими скоростями. Эндоконтактовые зоны оказываются обогащенными теми компонентами, которые дольше остаются в расплаве.

Параболическое изменение содержания всех компонентов в вертикальных дайках возникает вследствие того, что кривая скоростей ламинарного потока имеет вид параболы (<sup>13</sup>). Взвешенные в расплаве вкрапленники оливина и титанавгита мигрируют при градиенте гидродинамического давления из эндоконтактовых зон, обусловливая образование полифировых фаций мончикитов в центре даек и олигофировых в эндоконтактах.

Асимметричный характер распределения минеральных и химических компонентов в наклонных дайках определяется совокупным действием кинетического фактора и силы тяжести на кристаллы, взвешенные в расплаве. Найденная выше зависимость показывает, что содержание компонентов в дайках мончикитов является функцией расстояния от контакта, мощности даек и углов их падения.

Реальность механизма гидродинамической дифференциации в применении к базальтовым расплавам экспериментально обоснована (<sup>14</sup>, <sup>15</sup>). Неравновесность состава мончикитов определяется тем, что они представляют собой продукт кристаллизации гетерогенной, как предполагал еще Н. Л. Боузен (<sup>6</sup>), системы. А изменчивость их состава является следствием гидродинамической дифференциации этой системы в процессе внедрения мончикитовой магмы. Быстрое остывание последней и ее возрастающая вязкость препятствовали конвекционному и диффузионному выравниванию состава в дайках.

Институт геологии Коми филиала  
Академии наук СССР  
г. Сыктывкар

Поступило  
25 VI 1969

#### ЦИТИРОВАННАЯ ЛИТЕРАТУРА

- <sup>1</sup> Б. М. Куплетский, Изв. АН СССР, сер. геол., № 5 (1944). <sup>2</sup> Ф. К. Шипулин и др., Сборн. Критерии связи оруденения с магматизмом применительно к изучению рудных районов, 1965. <sup>3</sup> А. Н. Заварический, Тр. Петрографич. инст. АН СССР, в. 5 (1935). <sup>4</sup> N. D. Chatterjee, Die Lamprophyre des Spessart u. das Lamprophyrglomerat, Göttingen, 1959. <sup>5</sup> A. R. Philpotts, C. I. Hodgson, Intern. Geol. Congr. Rep. XXIII Sess. Chechosl., 1968. Proc. Sec. 2, Prague, 1968. <sup>6</sup> Г. М. Гапенев, Докл. сов. геологов. Международн. геол. конгр., XXI сессия, проблем. 13, 1960. <sup>7</sup> Б. А. Мальков, ДАН, 177, № 5 (1967). <sup>8</sup> Н. Л. Боузен, Эволюция изверженных пород, М.—Л.—Новосибирск, 1934. <sup>9</sup> Д. С. Белянкин, В. И. Владавец, Тр. Петрографич. инст. АН СССР, в. 2 (1932). <sup>10</sup> А. А. Кухаренко, М. П. Орлова и др., Каледонский комплекс ультраосновных щелочных пород и карбонатитов Кольского полуострова и Северной Карелии, М., 1965. <sup>11</sup> А. В. Уханов, Геохимия, № 12 (1968). <sup>12</sup> C. S. Ross, M. D. Foster, A. T. Mayer, Am. Mineral., 39 (1954). <sup>13</sup> Н. А. Елисеев, Основы структурной петрологии, «Наука», 1967. <sup>14</sup> S. Bhattacharji, C. Smith, Science, 145, № 3628 (1964). <sup>15</sup> S. Bhattacharji, Trans. Am. Geophys. Union, 47, 1 (1966).